

ИЗВЕСТИЯ  
ТОМСКОГО ОРДЕНА ОКТЯБРЬСКОЙ РЕВОЛЮЦИИ  
И ОРДЕНА ТРУДОВОГО КРАСНОГО ЗНАМЕНИ  
ПОЛИТЕХНИЧЕСКОГО ИНСТИТУТА им. С. М. КИРОВА

Том 224

1976

К РАСЧЕТУ ДОЛГОВЕЧНОСТИ ЗУБЧАТЫХ КОЛЕС  
ГОРНЫХ ЭЛЕКТРОСВЕРЛ ПО ИЗНОСУ

Ю. С. СЕМЕНОВ, В. Г. ГОРБЕНКО, С. И. ШУБОВИЧ

(Представлена научным семинаром кафедры прикладной механики)

Горные электросверла — машины ручные или переносные, поэтому их стремятся выполнять с возможно минимальным габаритом и весом, вследствие чего зубчатые колеса редукторов горных электросверл, как правило, выполняются из легированных сталей с высокой твердостью рабочих поверхностей зубьев (шестерни из сталей 18ХГТ, 20Х — цементованные и закаленные, колеса — из стали 40Х, закаленные). Несмотря на это, как показали наши расчеты, из-за малых размеров зубчатые пары работают с двойной-тройной перегрузкой по контактной прочности. Это ведет не только к выкрашиванию, но и к износу зубьев.

Как известно, ввиду сложности процесса износа и многообразия влияющих на этот процесс факторов, в настоящее время еще нет обобщающих уравнений, которые позволили бы определить долговечность детали из условия допустимого износа. Такие расчеты с большой степенью приближения проводятся лишь для ограниченного числа сопряжений.

Величину линейного, объемного или весового износа детали во времени (интенсивность износа) обычно выражают как функцию нормального усилия или контактного напряжения и скорости. Зависимость эта, как правило, степенная [1], [2], и ее можно представить, например, в следующем виде:

$$\gamma = K \cdot P_n^s \cdot V^n \quad (1)$$

или

$$\gamma = C \cdot \sigma_k^m \cdot V^n, \quad (2)$$

где  $\gamma$  — интенсивность изнашивания ( $мм/час$ ,  $мм^3/час$ ,  $мгр/час$ );

$P_n$  — нормальное усилие ( $кг$ );

$\sigma_k$  — контактное напряжение ( $кг/см^2$ );

$V$  — относительная скорость скольжения ( $м/сек$ );

$s$ ,  $m$  и  $n$  — показатели степени, определяемые из опытов по изменению интенсивности износа в зависимости от нагрузки и скорости;

$K$  и  $C$  — коэффициенты пропорциональности, зависящие от характеристики материала (определяются экспериментально).

В некоторых работах [3] при выводе уравнения интенсивности изнашивания зубьев зубчатых колес принимается прямо пропорциональная зависимость ее от величины нагрузки.

Авторами проводились испытания на износ зубчатых колес редукторов горных электросверл ЭР-5, ЭР-16, ЭР-14Д, ЭР-18Д. Все параметры зубчатых колес, в том числе и твердость их рабочих поверхностей, соответствовали техническим условиям на детали электросверл [4].

Для уменьшения веса, электродвигатели всех типов электросверл имеют предельное (при частоте тока 50 Hz) синхронное число оборотов — 3000 об/мин. Передаточное число зубчатых пар различных типов сверл, поскольку обороты бура определяются одинаковым для всех ручных электросверл технологическим процессом бурения, колеблется в небольших пределах (чаще всего около 3). Габариты сверл также мало отличаются друг от друга, поэтому окружные скорости зубчатых колес (а следовательно, и относительные скорости скольжения зубьев) у разных электросверл отличаются незначительно. Это дает возможность не учитывать влияние скорости при расчете интенсивности износа колес горных электросверл. Тем более, что ввиду малых размеров этих зубчатых колес их скорости невелики, а согласно литературным данным, например [1], при малых скоростях показатель степени  $n$  в выражениях (1) и (2) равен единице. Учитывая изложенное, авторы в данной работе исследовали изменение интенсивности износа зубчатых колес горных электросверл только в зависимости от величины нагрузки.

На рис. 1 и 2 приведены полученные в результате наших опытов графики зависимости интенсивности изнашивания зубчатых колес от величины нормального усилия в зацеплении, мощности, затрачиваемой на трение в зацеплении, и контактного напряжения. Поскольку шестерни зубчатых пар редукторов электросверл являются цементованными, то после приработки у них обычно наблюдается два периода износа (нормальный и ускоренный), у колес же — один период — период нормального износа. Наличие периода ускоренного износа у шестерен нами объясняется истиранием цементованного слоя.

Опыты показали, что зависимость интенсивности изнашивания зубчатых колес электросверл от величины нормального усилия в зацеплении (следовательно, и контактного напряжения), а также мощности, затрачиваемой на трение в зацеплении, носит нелинейный характер (рис. 1), при переходе к повышенным нагрузкам износ резко усиливается. Отношение  $\gamma/N_3$  есть, по существу, энергетический критерий изно-

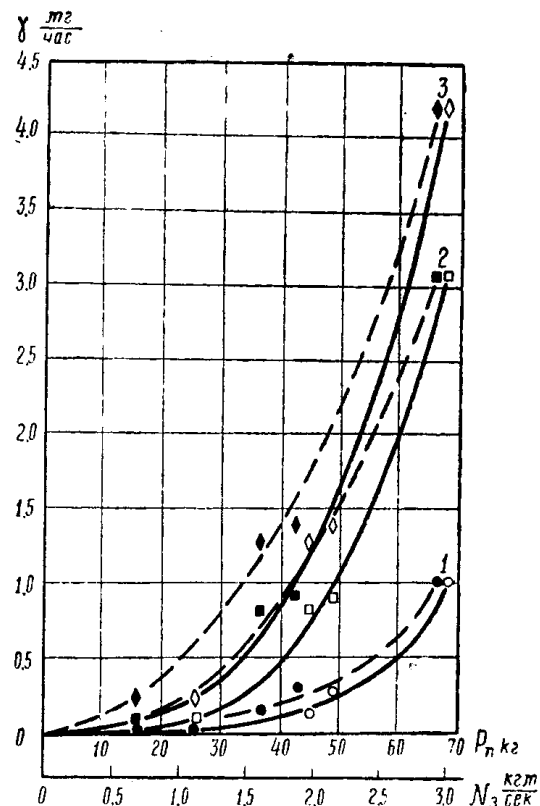


Рис. 1. Графики зависимости интенсивности изнашивания зубчатых колес  $\gamma$  от нормального усилия  $P_n$  (сплошные линии) и мощности, затрачиваемой на трение в зацеплении  $N_3$  (пунктирные линии). 1 — период нормального износа шестерни, 2 — период ускоренного износа шестерни, 3 — период нормального износа колеса

са, так как последний представляет собой отношение объема отделившегося материала к работе сил трения [5]. Следовательно, и в нашем случае сохраняется приведенное в работе [5] положение о том, что энергетический критерий износа для данного материала или данной пары не является константой.

Как отмечалось, зубчатые колеса горных электросверл работают с перегрузкой по контактной прочности, то есть именно при повышенных нагрузках. Следовательно, принять для расчета прямо пропорциональную зависимость износа зубьев от величины нагрузки, как это делается, например, в работе [3] применительно к малонагруженным передачам, у которых контактные напряжения значительно меньше предельных по контактной прочности, для редукторов электросверл не представляется возможным, так как это приведет к грубым ошибкам. Графики зависимости интенсивности изнашивания зубчатых колес от нормального усилия в зацеплении и контактного напряжения для зубчатых пар, подвергнутых испытанию (рис. 2), показывают, что может быть использовано степенное уравнение типа:

$$\gamma = K \cdot P_n^s \quad (3)$$

или

$$\gamma = C \cdot \sigma_k^m. \quad (4)$$

Согласно уравнениям (3) и (4) для графиков 1, 2 и 3 (рис. 2) имеем соответственно:  $s_1 = 4,00$ ,  $s_2 = -3,52$ ,  $s_3 = 2,97$ ;  $K_1 = 4,68 \cdot 10^{-8}$ ,  $K_2 = 1,12 \cdot 10^{-6}$ ,  $K_3 = 1,53 \cdot 10^{-5}$ ;  $m_1 = 8,00$ ,  $m_2 = 7,04$ ,  $m_3 = 5,94$ ;  $C_1 = 6,76 \cdot 10^{-32}$ ,  $C_2 = 1,19 \cdot 10^{-27}$ ,  $C_3 = 3,05 \cdot 10^{-23}$ .

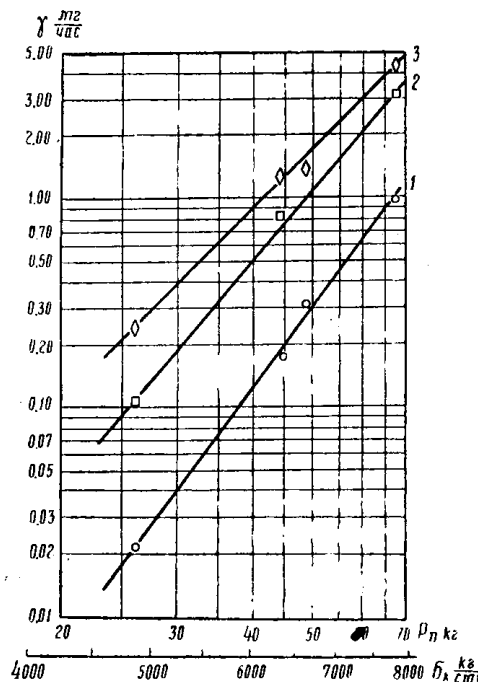
Данные графиков рис. 1 и 2 получены из опытов при отсутствии абразива в смазке. Горные электросверла работают в таких условиях,

Рис. 2. Графики зависимости интенсивности изнашивания зубчатых колес  $\gamma$  от нормального усилия в зацеплении  $P_n$  и контактного напряжения  $\sigma_k$ . Величины  $\sigma_k$  подсчитаны по формуле Герца без учета динамической нагрузки и неравномерности распределения нагрузки вдоль зуба. Цифрами 1, 2, 3 обозначены периоды износа шестерни и колеса, указанные на рис. 1

когда в редукторы может проникать угольная пыль, которая будет являться абразивом, поэтому было проведено дополнительное исследование загрязненности смазки редукторов горных электросверл угольной пылью и влияния последней на износ зубчатых колес.

В результате обследования большого количества электросверл на шахтах комбината «Кузбассуголь» было установлено, что у электросверл старых типов (ЭР-5, ЭР-16, ЭР-15) загрязненность смазки угольной пылью в среднем составляет 6—8%, у электросверл новых типов (ЭР-14Д, ЭР-18Д) вследствие улучшения конструкции уплотнения — 1,5—3%.

Результаты опытов по выявлению влияния содержания угольной пыли в смазке зубчатых колес на их износ представлены на графиках рис. 3. В этих опытах у шестерен (как и у колес) после приработки



наблюдался лишь период равномерного износа (т. е. периоды нормального и ускоренного износа сливались в один непрерывный период). Следует заметить, что и при отсутствии абразива в смазке, при повышенных нагрузках период нормального износа шестерен весьма кратковременный, а основным рабочим периодом является период ускоренного равномерного износа [6].

Из сравнения данных рис. 3 и графиков 2 и 3 рис. 1 и 2 видно, что при содержании в смазке угольной пыли до 4% интенсивность износа увеличивается незначительно. При повышении содержания абразива в смазке интенсивность износа сильно возрастает (рис. 3), при этом коэффициенты пропорциональности  $K$  и  $C$  и показатели степени  $s$  и  $m$  в выражениях (3) и (4) будут значительно отличаться от полученных из графиков рис. 1 и 2. Например, решая совместно два уравнения:

$$\gamma_1 = C \cdot \sigma_{k1}^m \text{ и } \gamma_2 = C \cdot \sigma_{k2}^m,$$

для  $\sigma_{k1} = 6950 \text{ кг}/\text{см}^2$ ,  $\sigma_{k2} = 9000 \text{ кг}/\text{см}^2$  и соответствующих им на рис. 3 значениях  $\gamma_1$  и  $\gamma_2$ , при содержании в смазке 10% угольной пыли, получим для шестерни  $C = 2,76 \cdot 10^{-7}$ ,  $m = 1,7$ , для колеса  $C = 4,76 \cdot 10^{-10}$ ,  $m = 2,3$  (на один зуб).

Итак, можно заключить, что подобно тому, как в любой методике расчета, например [7], степенное уравнение  $\sigma_k^x N_u = \text{const}$  используется для определения допускаемого контактного напряжения  $[\sigma_k]$  при расчете на долговечность по контактной прочности зубьев, хотя показатель степени  $x$  в нем для различных случаев колеблется в очень широких пределах (согласно [7], [8] от  $x = 2,8$  до  $x = 25$ ), зависимость (4) может быть использована для определения  $[\sigma_k]$  при расчете на долговечность по износу. При этом последний унифицируется с расчетом на контактную прочность аналогично тому, как это делается в методике ЦНИИТМАШа [7] для расчета на засадение. Приняв величину предельного износа зубьев исходя из их изгибной прочности (например, 20% от толщины зуба, измеренной по дуге начальной окружности [9]), имея заданный срок службы передачи, можно определить допустимую скорость изнашивания  $v$ . Затем по зависимости (4) определить допускаемое контактное напряжение  $[\sigma_k]$ . После чего можно пользоваться обычными формулами, применяемыми для расчета на контактную прочность, например, приведенными в [7].

Поскольку при современной конструкции уплотнений и соблюдении правил технической эксплуатации электросверл количество угольной пыли в смазке не превышает 3%, то для зубчатых колес редукторов электросверл можно назначить  $C$  и  $m$  в выражениях (4), исходя из графиков 2 и 3 рис. 2. Округленно для шестерни  $C = 1,2 \cdot 10^{-27}$ ,  $m = 7$ ; для колеса  $C = 3 \cdot 10^{-23}$ ,  $m = 6$ . При соответствующем подборе соотношения твердос-

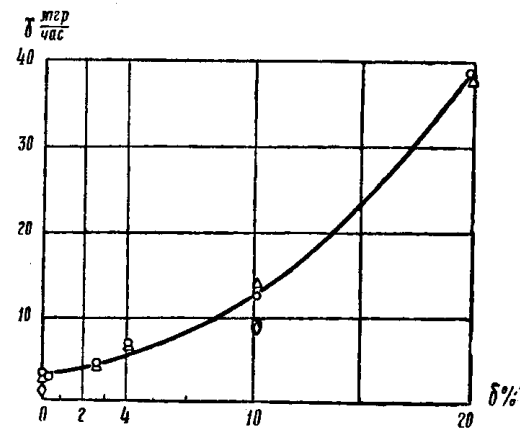


Рис. 3. Изменение интенсивности изнашивания  $v$  зубчатых колес горных электросверл в зависимости от содержания угольной пыли в смазке  $\delta \%$ . ○,  $\diamond$  — шестерня,  $\Delta$ ,  $\square$  — колесо.

○,  $\Delta$  — при контактном напряжении  $\sigma_k = 9000 \text{ кг}/\text{см}^2$ ;  
 $\diamond$ ,  $\square$  — при  $\sigma_k = 6950 \text{ кг}/\text{см}^2$ . Величины  $\sigma_k$  подсчитаны по формуле Терца без учета динамической нагрузки и неравномерности распределения нагрузки вдоль зуба

тей рабочих поверхностей зубчатой пары, когда обеспечивается равновеликий износ зубьев шестерни и колеса [6], при подсчете  $\gamma$  на один зуб в среднем можно принимать  $C = 7 \cdot 10^{-25}$ ,  $m = 6$ .

#### ЛИТЕРАТУРА

1. А. С. П р о н и к о в . Износ и долговечность станков. Машгиз, М., 1957.
2. К. П. Ч у д а к о в . К вопросу расчета сроков службы зубчатых колес, подверженных абразивному изнашиванию. Проблемы качества и прочности зубчатых передач. Сб. 1, ЦБТИ, М., 1961.
3. И. С. К у зь м и н . Несущая способность открытых реечных передач. Автореферат канд. диссерт. Л., 1967.
4. Ручные электросверла ЭР-4, ЭР-5, ЭРП-5. Главуглемаш. Томский электромеханический завод им. В. В. Вахрушева, Углетехиздат, М., 1956. Ручные электросверла ЭР-15, ЭР-16, ЭРП-20. ТЭМЗ, 1959. Ручные электросверла с дистанционным управлением ЭР-14Д, ЭР-15Д, ЭР-18Д, ЭРП-18Д, ТЭМЗ, 1962.
5. И. В. К р а г е л ь с к и й . Трение и износ. Машгиз, М., 1962.
6. В. Т. Г о р б е н к о , Ю. С. С е м е н о в , С. И. Ш у б о в и ч . Исследования влияния некоторых технологических факторов и режима нагрузки на износ зубчатых колес редукторов горных электросверл. Изв. ТПИ, т. 147, изд. ТГУ, Томск, 1966.
7. Я. Г. К и с т ь я н . Методика расчета зубчатых передач на прочность. ЦНИИТМАШ, кн. 107, Машгиз, М., 1963.
8. Б. С. К о в а л ь с к и й . Главнейшие вопросы операции прочности зубчатых передач. Проблемы качества и прочности зубчатых передач, сб. II, ЦБТИ, М., 1961.
9. И. Ф. Д е р ю г а , Ю. С. С е м е н о в . Упрощенный метод поверочного расчета изношенных зубьев на изгиб. Изв. ТПИ, т. 183, изд. ТГУ, Томск, 1968.